

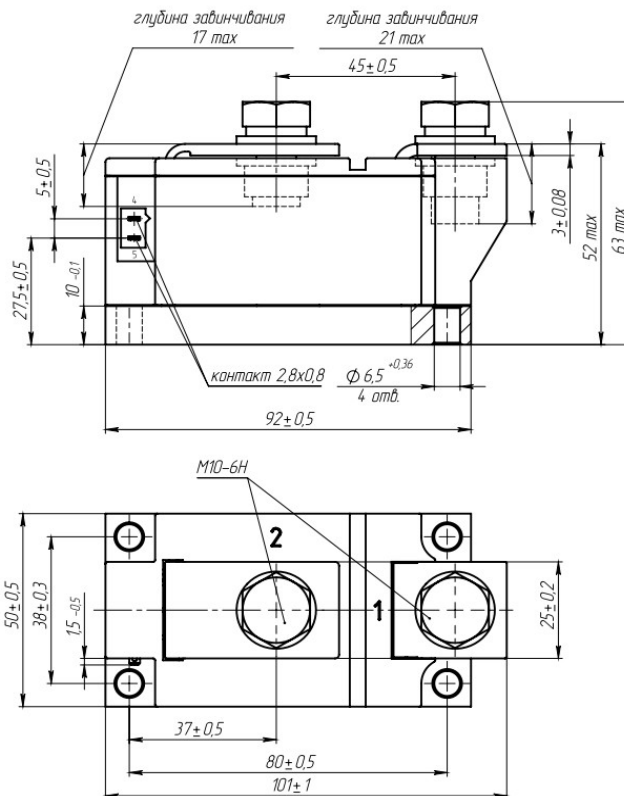
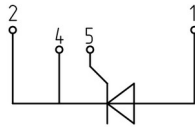


Изолированное основание
Корпус промышленного стандарта
Упрощенная механическая конструкция,
быстрая сборка
Прижимная конструкция

Однопозиционный Тиристорный Модуль MT1-250-65-B0

Средний прямой ток	I_{TAV}		250 A								
Повторяющееся импульсное напряжение в закрытом состоянии	U_{DRM}		4600...6500 В								
Повторяющееся импульсное обратное напряжение	U_{RRM}										
Время выключения	t_q		800 мкс								
$U_{DRM}, U_{RRM}, В$	4600	4800	5000	5200	5400	5600	5800	6000	6200	6400	6500
Класс по напряжению	46	48	50	52	54	56	58	60	62	64	65
$T_j, ^\circ C$	-40...+125										

MT1



ПРЕДЕЛЬНО ДОПУСТИМЫЕ ЗНАЧЕНИЯ ПАРАМЕТРОВ

Обозначение и наименование параметра		Ед. изм.	Значение	Условия измерения	
Параметры в проводящем состоянии					
I_{TAV}	Максимально допустимый средний ток в открытом состоянии	А	250 256	$T_c = 86\text{ }^\circ\text{C}$; $T_c = 85\text{ }^\circ\text{C}$; 180 эл. град. синус; 50 Гц	
I_{TRMS}	Действующий ток в открытом состоянии	А	393	$T_c = 86\text{ }^\circ\text{C}$; 180 эл. град. синус; 50 Гц	
I_{TSM}	Ударный ток в открытом состоянии	кА	4.0 4.5	$T_j = T_{j\max}$ $T_j = 25\text{ }^\circ\text{C}$	180 эл. град. синус; $t_p = 10\text{ мс}$; единичный импульс; $U_D = U_R = 0\text{ В}$; Импульс управления: $I_G = 2\text{ А}$; $t_{GP} = 50\text{ мкс}$; $di_G/dt \geq 1\text{ А/мкс}$
			4.0 4.5	$T_j = T_{j\max}$ $T_j = 25\text{ }^\circ\text{C}$	180 эл. град. синус; $t_p = 8.3\text{ мс}$; единичный импульс; $U_D = U_R = 0\text{ В}$; Импульс управления: $I_G = 2\text{ А}$; $t_{GP} = 50\text{ мкс}$; $di_G/dt \geq 1\text{ А/мкс}$
I^2t	Защитный показатель	$\text{А}^2\text{с} \cdot 10^3$	80 100	$T_j = T_{j\max}$ $T_j = 25\text{ }^\circ\text{C}$	180 эл. град. синус; $t_p = 10\text{ мс}$; единичный импульс; $U_D = U_R = 0\text{ В}$; Импульс управления: $I_G = 2\text{ А}$; $t_{GP} = 50\text{ мкс}$; $di_G/dt \geq 1\text{ А/мкс}$
			60 80	$T_j = T_{j\max}$ $T_j = 25\text{ }^\circ\text{C}$	180 эл. град. синус; $t_p = 8.3\text{ мс}$; единичный импульс; $U_D = U_R = 0\text{ В}$; Импульс управления: $I_G = 2\text{ А}$; $t_{GP} = 50\text{ мкс}$; $di_G/dt \geq 1\text{ А/мкс}$
Блокирующие параметры					
U_{DRM}, U_{RRM}	Повторяющееся импульсное обратное напряжение и повторяющееся импульсное напряжение в закрытом состоянии	В	4600...6500	$T_{j\min} < T_j < T_{j\max}$; 180 эл. град. синус; 50 Гц; управление разомкнуто	
U_{DSM}, U_{RSM}	Неповторяющееся импульсное обратное напряжение и неповторяющееся импульсное напряжение в закрытом состоянии	В	4700...6600	$T_{j\min} < T_j < T_{j\max}$; 180 эл. град. синус; единичный импульс; управление разомкнуто	
U_D, U_R	Постоянное обратное и постоянное прямое напряжение	В	$0.6 \cdot U_{DRM}$ $0.6 \cdot U_{RRM}$	$T_j = T_{j\max}$; управление разомкнуто	
Параметры управления					
I_{FGM}	Максимальный прямой ток управления	А	8	$T_j = T_{j\max}$	
U_{RGM}	Максимальное обратное напряжение управления	В	5		
P_G	Максимальная рассеиваемая мощность по управлению	Вт	4	$T_j = T_{j\max}$ для постоянного тока управления	
Параметры переключения					
$(di_T/dt)_{crit}$	Критическая скорость нарастания тока в открытом состоянии ($f = 1\text{ Hz}$)	А/мкс	400	$T_j = T_{j\max}$; $U_D = 0.67 \cdot U_{DRM}$; $I_{TM} = 1150\text{ А}$; Импульс управления: $I_G = 2\text{ А}$; $t_{GP} = 50\text{ мкс}$; $di_G/dt \geq 2\text{ А/мкс}$	
Тепловые параметры					
T_{stg}	Температура хранения	$^\circ\text{C}$	-40...+50		
T_j	Температура р-п перехода	$^\circ\text{C}$	-40...+125		
$T_{c\text{ op}}$	Рабочая температура корпуса	$^\circ\text{C}$	-40...+125		
Механические параметры					
a	Ускорение	м/с^2	50		

ХАРАКТЕРИСТИКИ

Обозначение и наименование характеристики		Ед. изм.	Значение	Условия измерения		
Характеристики в проводящем состоянии						
U_{TM}	Импульсное напряжение в открытом состоянии, макс	В	2.80	$T_j=25\text{ }^\circ\text{C}$; $I_{TM}=785\text{ A}$		
$U_{T(ТО)}$	Пороговое напряжение, макс	В	1.800	$T_j=T_{j\text{ max}}$; $0.5\pi I_{TAV} < I_T < 1.5\pi I_{TAV}$		
r_T	Динамическое сопротивление в открытом состоянии, макс	МОм	1.651			
I_L	Ток включения, макс	мА	1000	$T_j=25\text{ }^\circ\text{C}$; $U_D=12\text{ В}$; Импульс управления: $I_G=2\text{ A}$; $t_{GP}=50\text{ мкс}$; $di_G/dt \geq 1\text{ A/мкс}$		
I_H	Ток удержания, макс	мА	300	$T_j=25\text{ }^\circ\text{C}$; $U_D=12\text{ В}$; управление разомкнуто		
Блокирующие характеристики						
I_{DRM}, I_{RRM}	Повторяющийся импульсный обратный ток и повторяющийся импульсный ток в закрытом состоянии, макс	мА	150 3.00	$T_j=T_{j\text{ max}}$; $T_j=25\text{ }^\circ\text{C}$	$U_D=U_{DRM}$; $U_R=U_{RRM}$	
$(du_D/dt)_{crit}$	Критическая скорость нарастания напряжения в закрытом состоянии ¹⁾ , мин	В/мкс	200, 320, 500, 1000, 1600, 2000, 2500	$T_j=T_{j\text{ max}}$; $U_D=0.67 \cdot U_{DRM}$; управление разомкнуто		
Характеристики управления						
U_{GT}	Отпирающее постоянное напряжение управления, макс	В	3.00 2.50 2.00	$T_j=T_{j\text{ min}}$; $T_j=25\text{ }^\circ\text{C}$; $T_j=T_{j\text{ max}}$	$U_D=12\text{ В}$; $I_D=3\text{ A}$; Постоянный ток управления	
I_{GT}	Отпирающий постоянный ток управления, макс	мА	400 250 200	$T_j=T_{j\text{ min}}$; $T_j=25\text{ }^\circ\text{C}$; $T_j=T_{j\text{ max}}$		
U_{GD}	Неотпирающее постоянное напряжение управления, мин	В	0.25	$T_j=T_{j\text{ max}}$; $U_D=0.67 \cdot U_{DRM}$; Постоянный ток управления		
I_{GD}	Неотпирающий постоянный ток управления, мин	мА	35.00			
Динамические характеристики						
t_{gd}	Время задержки, макс	мкс	3.00	$T_j=25\text{ }^\circ\text{C}$; $U_D=1500\text{ В}$; $I_{TM}=I_{TAV}$; $di/dt=200\text{ A/мкс}$;		
t_{gt}	Время включения, макс	мкс	10.00	Импульс управления: $I_G=2\text{ A}$; $U_G=20\text{ В}$; $t_{GP}=50\text{ мкс}$; $di_G/dt=2\text{ A/мкс}$		
t_q	Время выключения ²⁾ , макс	мкс	800	$dv_D/dt=50\text{ В/мкс}$; $T_j=T_{j\text{ max}}$; $I_{TM}=I_{TAV}$; $di_R/dt=-10\text{ A/мкс}$; $U_R=100\text{ В}$; $U_D=0.67 \cdot U_{DRM}$;		
Q_{rr}	Заряд обратного восстановления, макс	мкКл	2600	$T_j=T_{j\text{ max}}$; $I_{TM}=250\text{ A}$; $di_R/dt=-5\text{ A/мкс}$; $U_R=100\text{ В}$		
t_{rr}	Время обратного восстановления, макс	мкс	52			
I_{rr}	Обратный ток восстановления, макс	А	100			
Тепловые характеристики						
R_{thjc}	Тепловое сопротивление р-п переход-корпус, макс			180 эл. град. синус; 50 Гц		
		на модуль	$^\circ\text{C/Вт}$			0.0550
R_{thch}	Тепловое сопротивление корпус-охладитель, макс					
		на модуль	$^\circ\text{C/Вт}$			0.0100
Характеристики изоляции						
U_{ISOL}	Электрическая прочность изоляции	кВ	7.00	синус; 50 Гц; действующее значение	$t=1\text{ мин}$	
			8.40		$t=1\text{ с}$	

Механические характеристики				
M ₁	Момент затяжки основания (M6) ³⁾	Нм	6.00	Допуск ± 15%
M ₂	Момент затяжки выводов (M10) ³⁾	Нм	12.00	Допуск ± 15%
m	Масса, макс	г	900	

МАРКИРОВКА		ПРИМЕЧАНИЕ																																														
<table border="1"> <tr> <td>MT</td><td>1</td><td>-</td><td>250</td><td>-</td><td>65</td><td>-</td><td>A2</td><td>B2</td><td>-</td><td>B0</td><td>-</td><td>Y2</td> </tr> <tr> <td>1</td><td>2</td><td>3</td><td>4</td><td>5</td><td>6</td><td>7</td><td>8</td><td></td><td></td><td></td><td></td><td></td> </tr> </table>	MT	1	-	250	-	65	-	A2	B2	-	B0	-	Y2	1	2	3	4	5	6	7	8						<ol style="list-style-type: none"> Тиристорный модуль (MT) Схема включения Средний прямой ток, А Класс по напряжению Критическая скорость нарастания напряжения в закрытом состоянии Группа по времени выключения ($du_D/dt=50$ В/мкс) Тип корпуса (M.B0) Климатическое исполнение по ГОСТ 15150: Y2 	<ol style="list-style-type: none"> Критическая скорость нарастания напряжения в закрытом состоянии <table border="1"> <thead> <tr> <th>Обозначение группы</th> <th>P2</th> <th>K2</th> <th>E2</th> <th>A2</th> <th>T1</th> <th>P1</th> <th>M1</th> </tr> </thead> <tbody> <tr> <td>$(du_D/dt)_{crit}$, В/мкс</td> <td>200</td> <td>320</td> <td>500</td> <td>1000</td> <td>1600</td> <td>2000</td> <td>2500</td> </tr> </tbody> </table> Время выключения ($du_D/dt=50$ В/мкс) <table border="1"> <thead> <tr> <th>Обозначение группы</th> <th>B2</th> </tr> </thead> <tbody> <tr> <td>t_q, мкс</td> <td>800</td> </tr> </tbody> </table> Резьба должна быть смазана 	Обозначение группы	P2	K2	E2	A2	T1	P1	M1	$(du_D/dt)_{crit}$, В/мкс	200	320	500	1000	1600	2000	2500	Обозначение группы	B2	t_q , мкс	800
MT	1	-	250	-	65	-	A2	B2	-	B0	-	Y2																																				
1	2	3	4	5	6	7	8																																									
Обозначение группы	P2	K2	E2	A2	T1	P1	M1																																									
$(du_D/dt)_{crit}$, В/мкс	200	320	500	1000	1600	2000	2500																																									
Обозначение группы	B2																																															
t_q , мкс	800																																															

Содержащаяся здесь информация является конфиденциальной и находится под защитой авторских прав. В интересах улучшения качества продукции, АО «Протон-Электротекс» оставляет за собой право изменять информационные листы без уведомления.

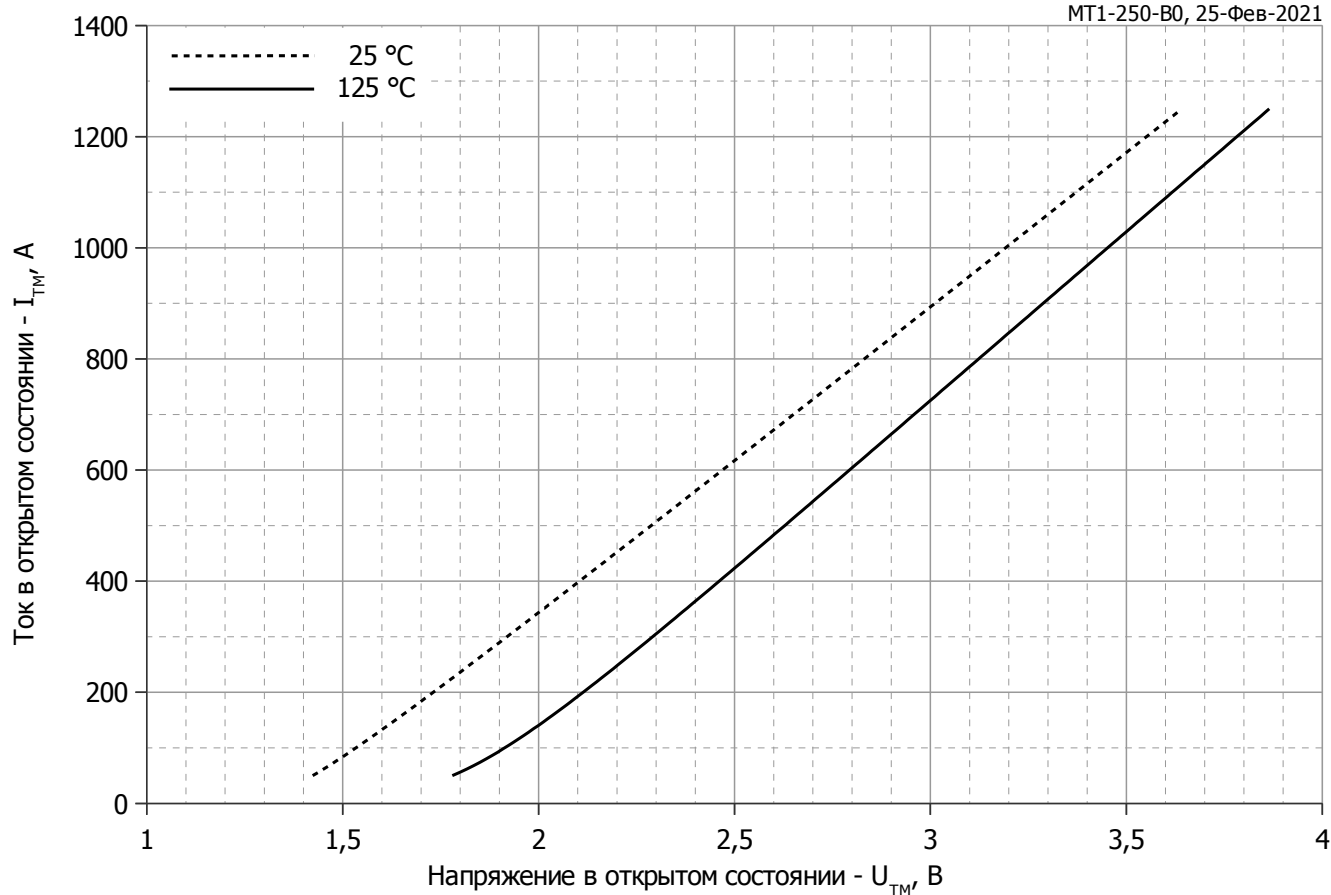


Рис. 1 – Предельная вольт – амперная характеристика

Аналитическая функция предельной вольт — амперной характеристики:

$$V_T = A + B \cdot i_T + C \cdot \ln(i_T + 1) + D \cdot \sqrt{i_T}$$

	Коэффициенты для графика	
	T _j = 25°C	T _j = T _{j max}
A	1.19108958	1.23993150
B	0.00180174	0.00182950
C	0.04094468	0.15202692
D	-0.00264997	-0.02110433

Модель предельной вольт – амперной характеристики (см. Рис. 1)

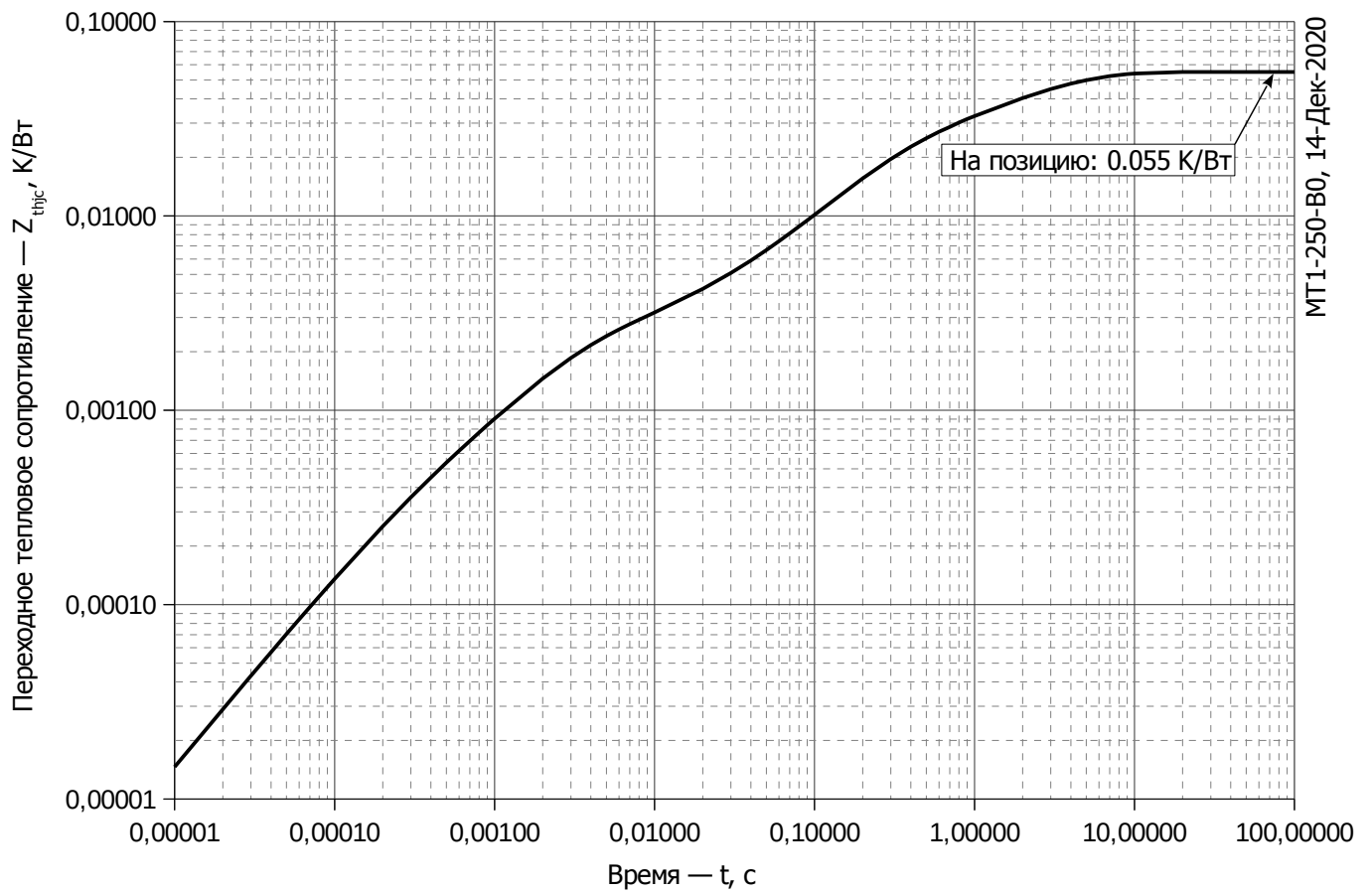


Рис. 2 – Зависимость переходного теплового сопротивления Z_{thjc} от времени t

Аналитическая зависимость переходного теплового сопротивления переход — корпус:

$$Z_{thjc} = \sum_{i=1}^n R_i \left(1 - e^{-\frac{t}{\tau_i}} \right)$$

Где $i = 1$ to n , n – число суммирующихся элементов.

t = продолжительность импульсного нагрева в секундах.

Z_{thjc} = Тепловое сопротивление за время t .

R_i, τ_i = расчетные коэффициенты, приведенные в таблице.

i	1	2	3	4	5	6
$R_i, \text{K/Вт}$	0.0249	0.0112	0.01635	0.0006528	0.001791	0.0001363
$\tau_i, \text{с}$	3.132	1.000	0.2335	0.01038	0.002348	0.0002448

Модель переходного теплового сопротивления переход - корпус (см. Рис. 2)

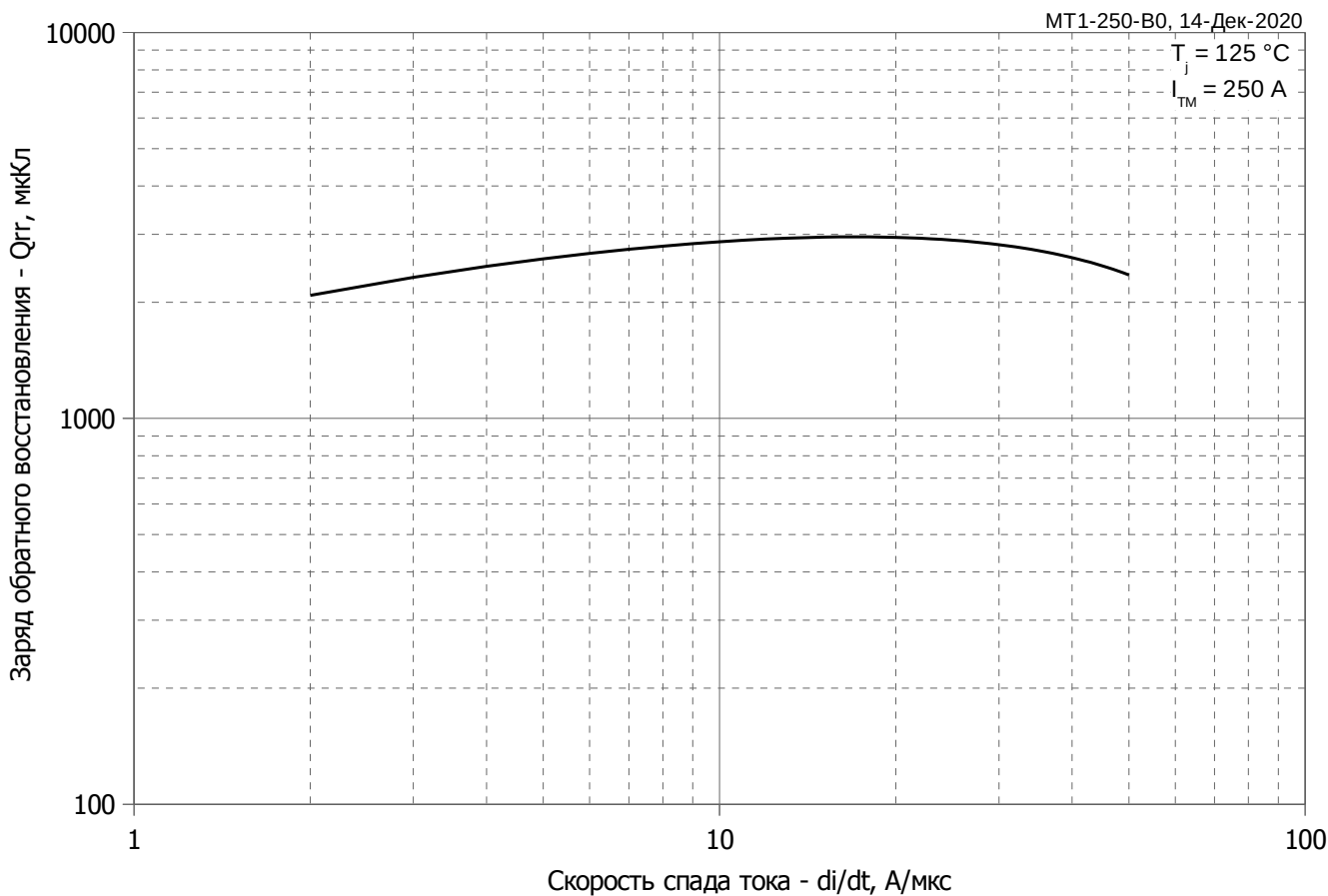


Рис. 3 – Зависимость максимального заряда обратного восстановления Q_{rr} от скорости спада тока di_R/dt (по ГОСТ 24461, хорда 25%) в открытом состоянии

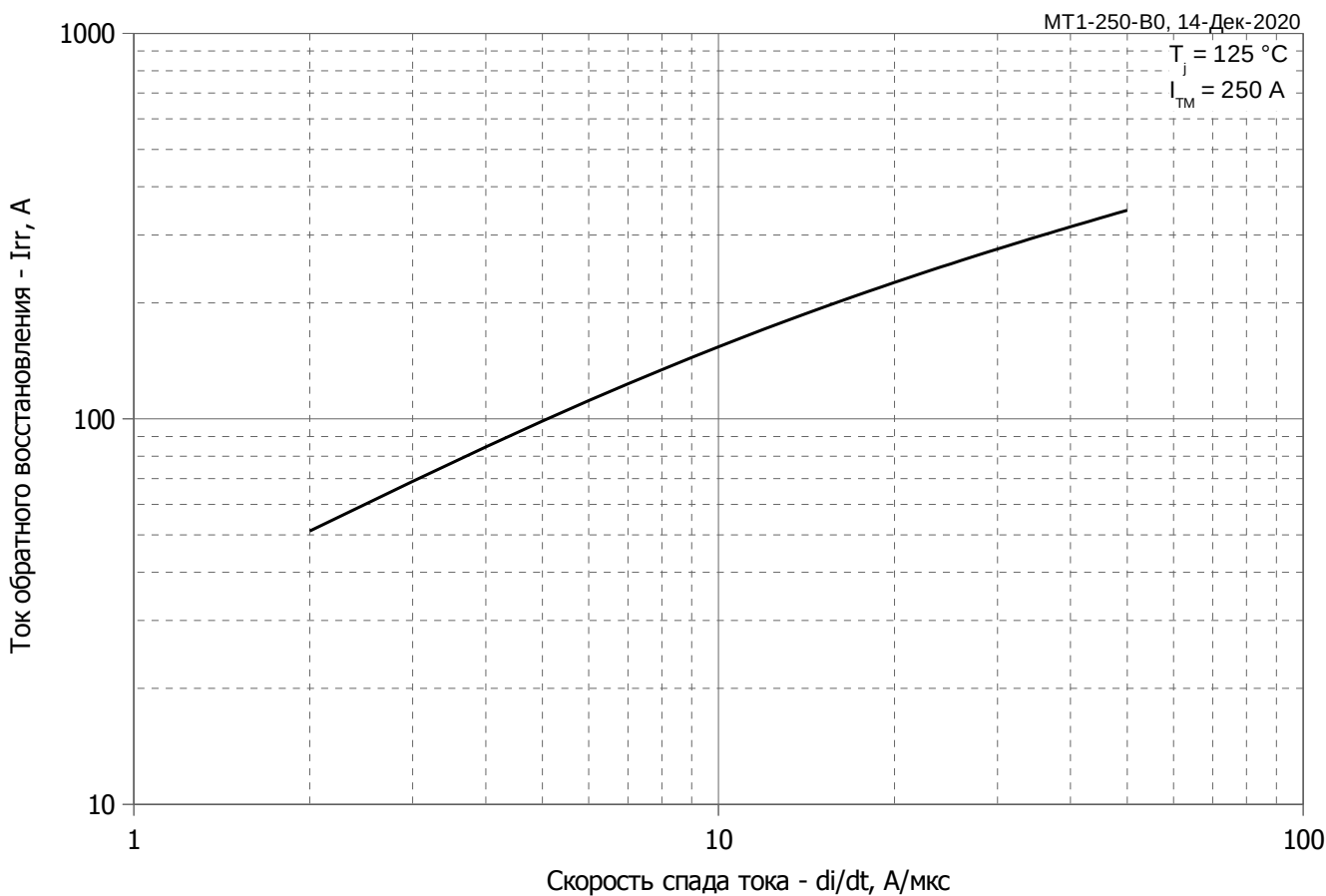


Рис. 4 – Зависимость максимального тока обратного восстановления I_{rr} от скорости спада тока di_R/dt в открытом состоянии

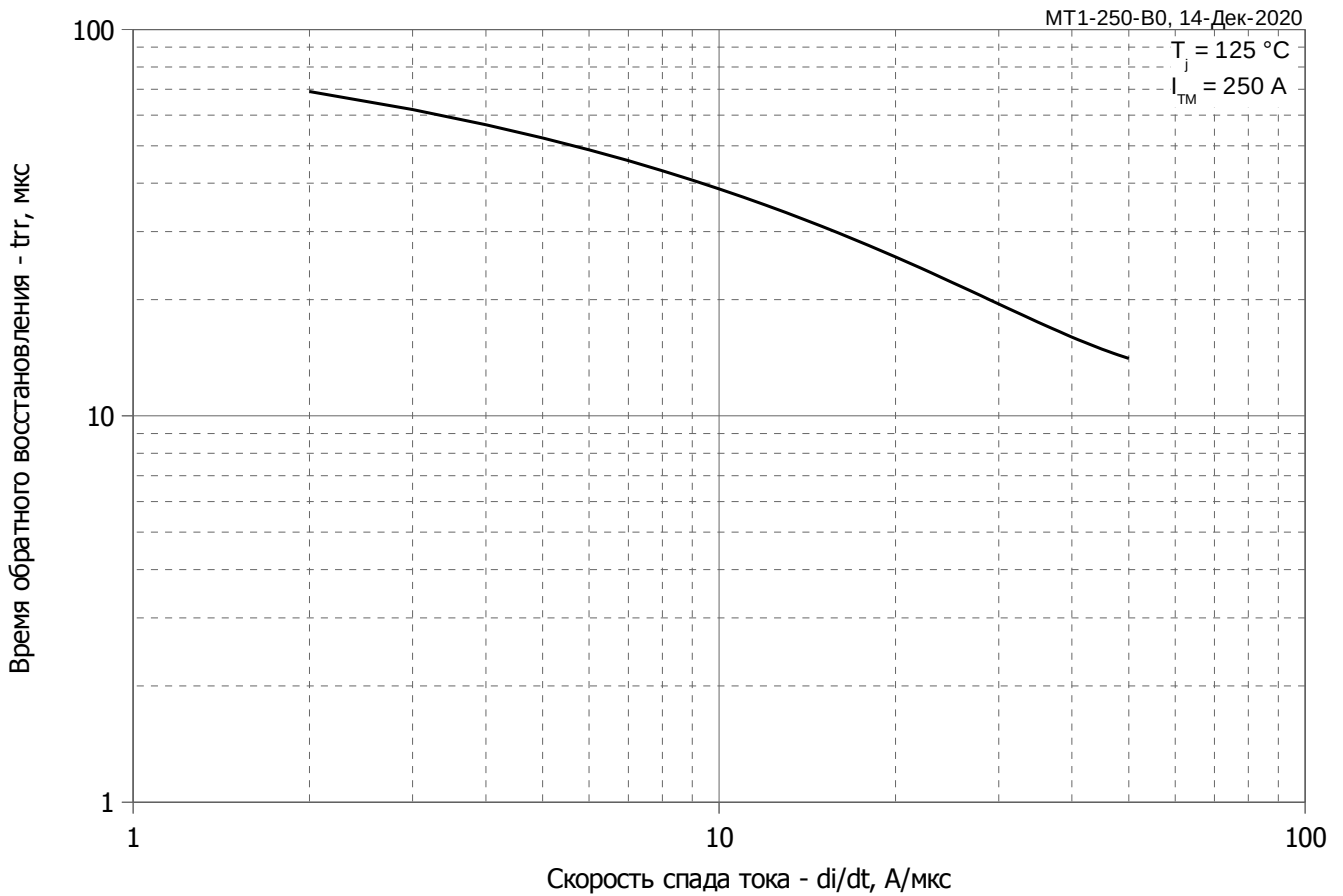


Рис. 5 - Зависимость максимального времени обратного восстановления t_{tr} от скорости спада тока di_R/dt (по ГОСТ 24461, хорда 25%) в открытом состоянии

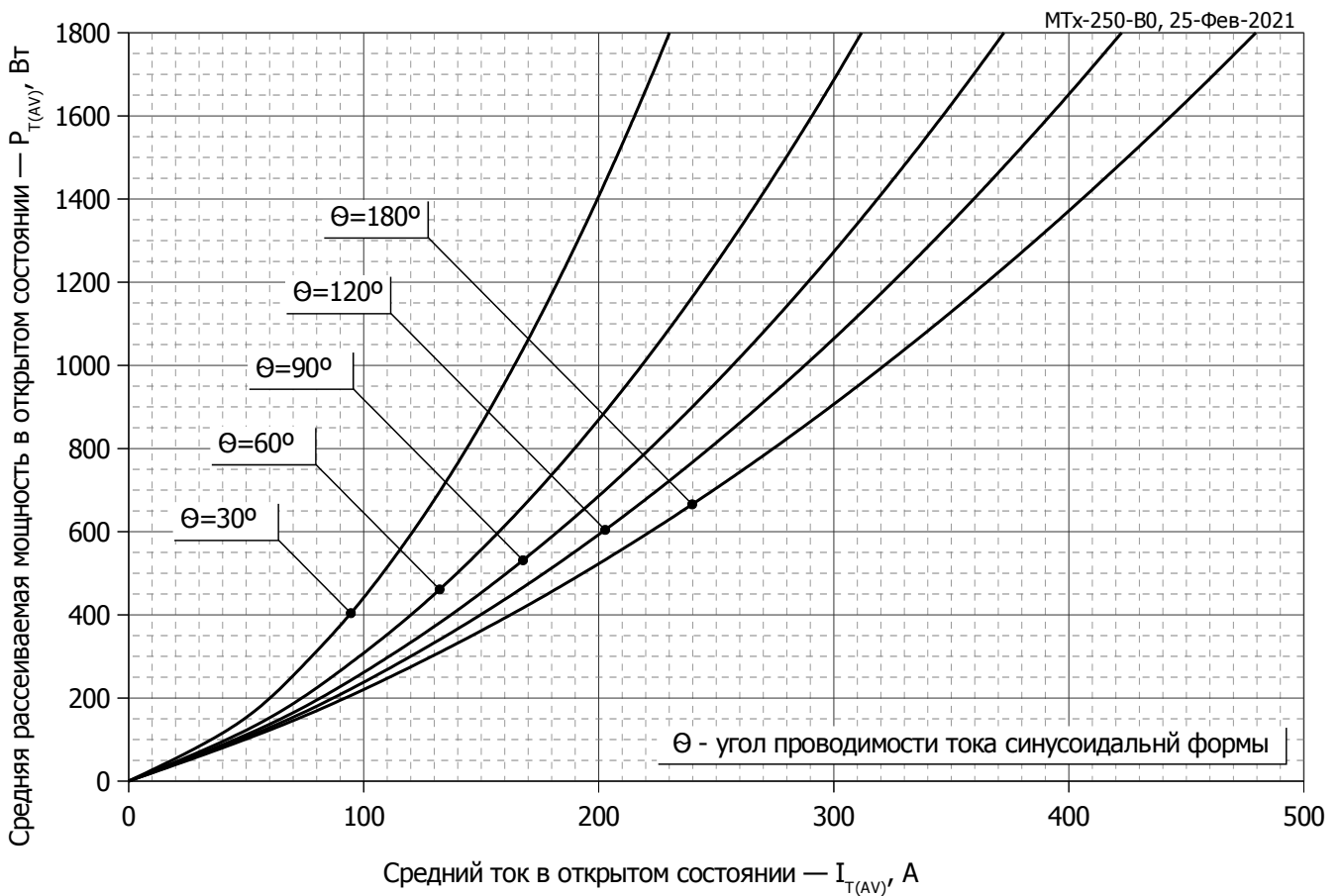


Рис. 6 - Зависимость потерь мощности P_{TAV} от среднего тока в открытом состоянии I_{TAV} синусоидальной формы при различных углах проводимости ($f=50$ Гц, двустороннее охлаждение)

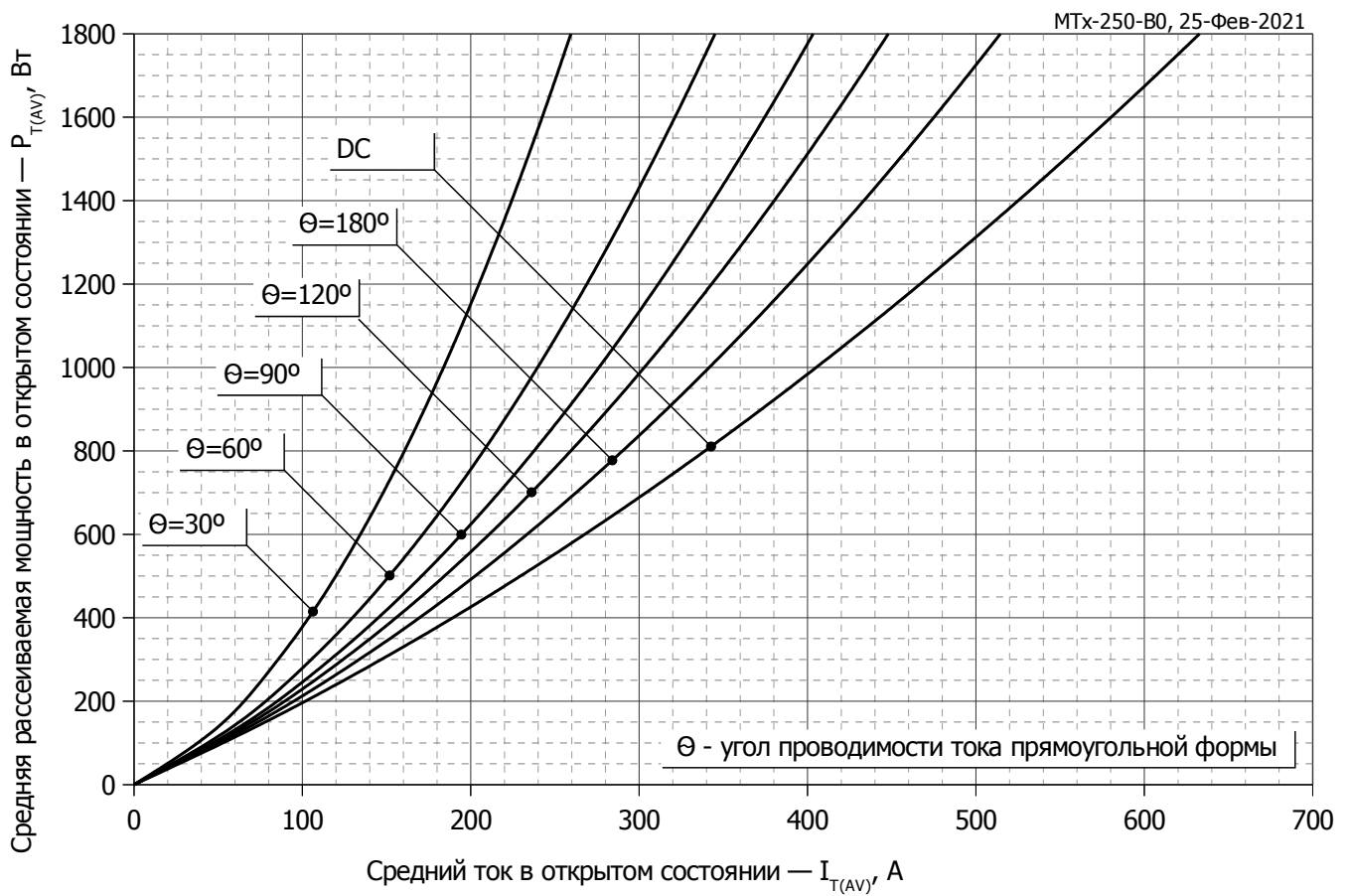


Рис. 7 – Зависимость потерь мощности P_{TAV} от среднего тока в открытом состоянии I_{TAV} прямоугольной формы при различных углах проводимости ($f=50$ Гц, двустороннее охлаждение)

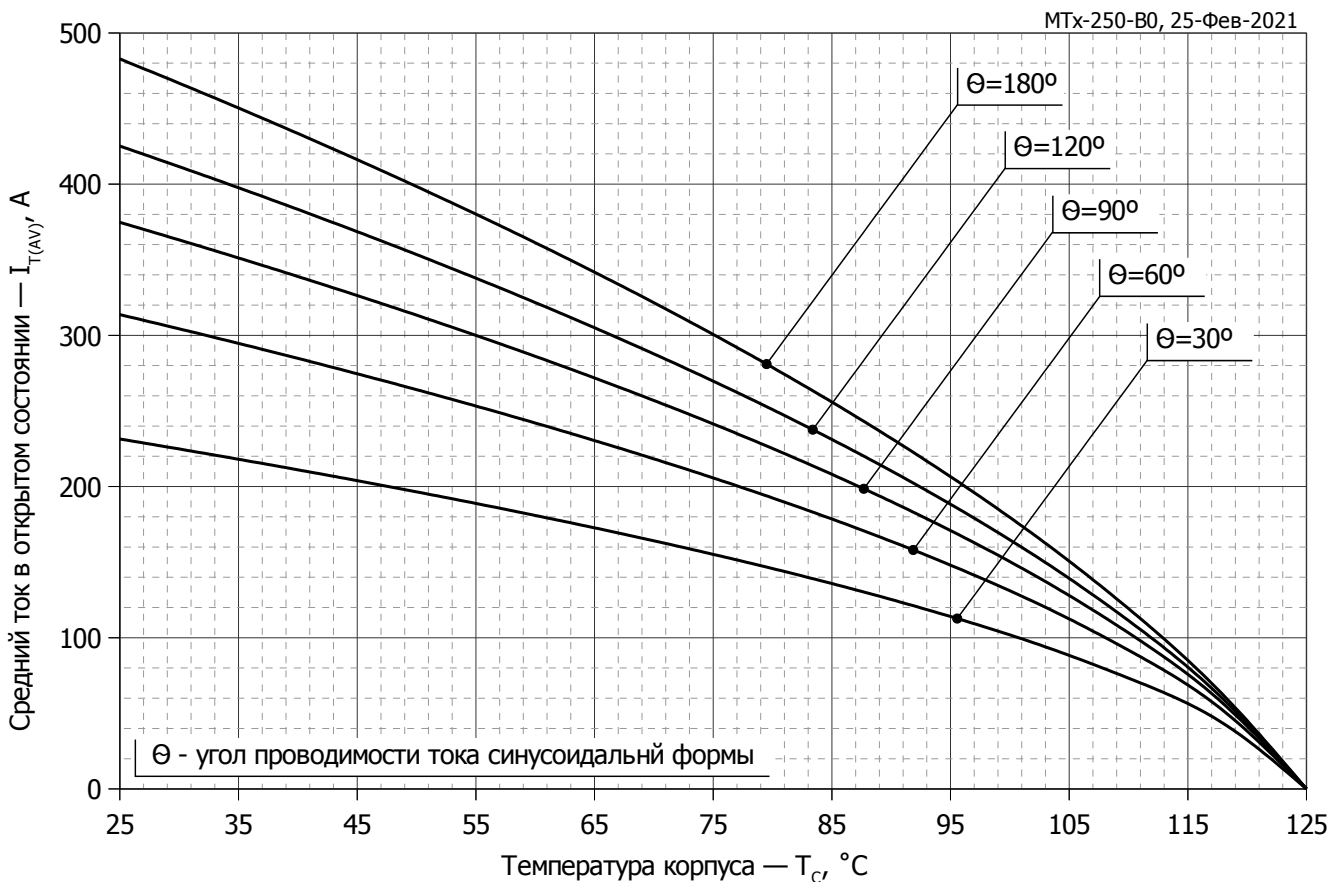


Рис. 8 – Зависимость среднего тока в открытом состоянии I_{TAV} от температуры корпуса T_c для синусоидальной формы тока при различных углах проводимости ($f=50$ Гц, Двустороннее охлаждение)

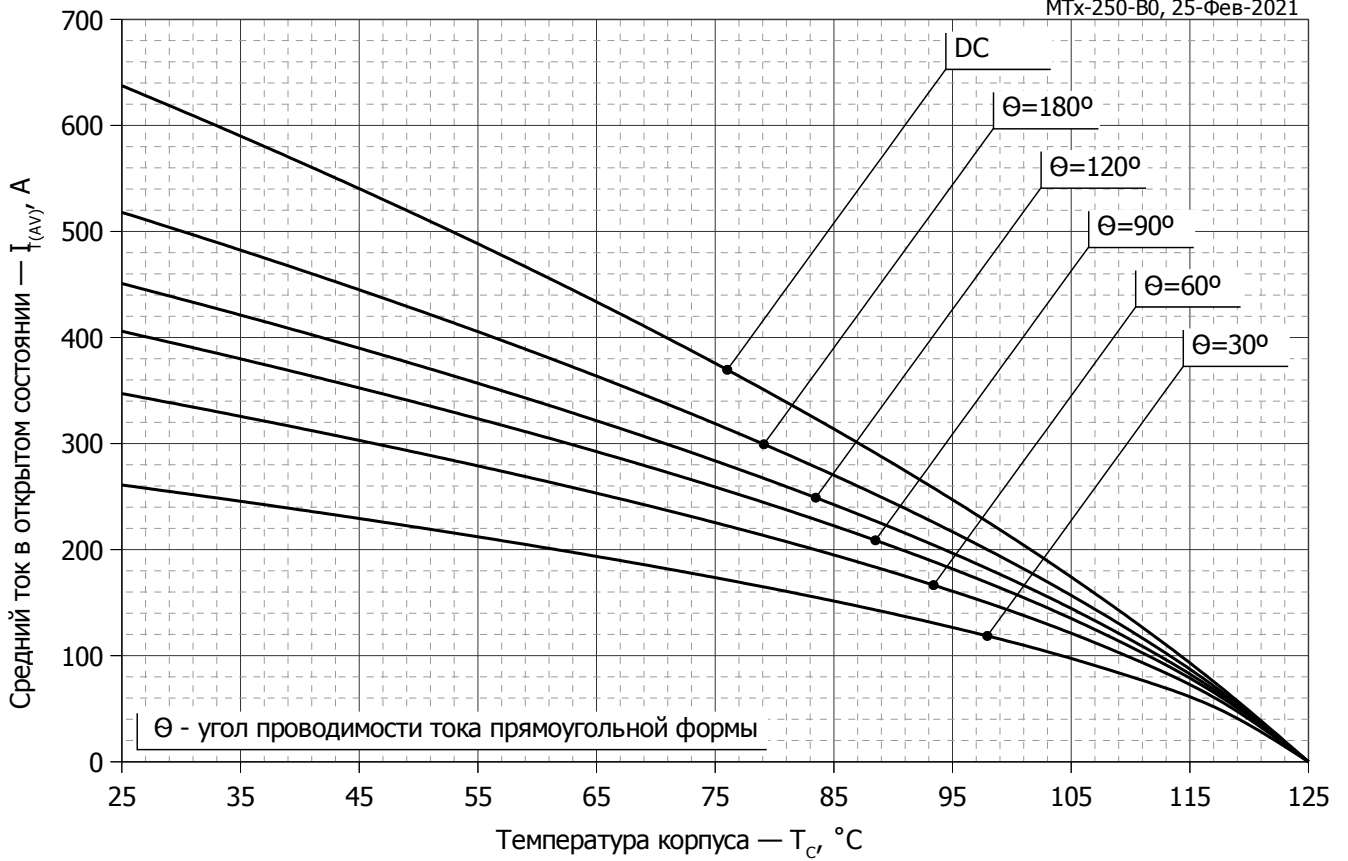


Рис. 9 - Зависимость среднего тока в открытом состоянии I_{TAV} от температуры корпуса T_c для прямоугольной формы тока при различных углах проводимости ($f=50$ Гц, Двустороннее охлаждение)

$T_j = 125$ °C

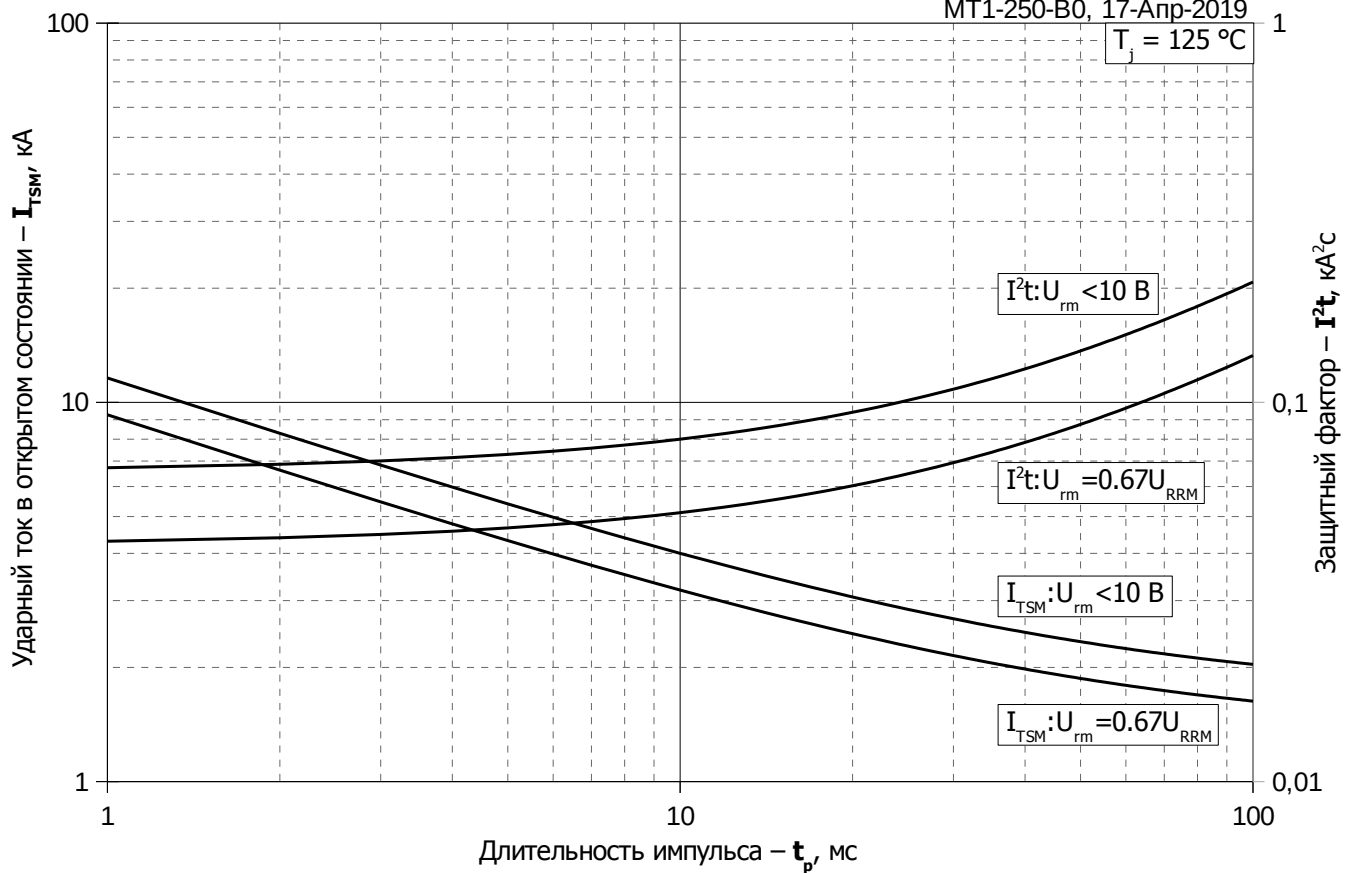
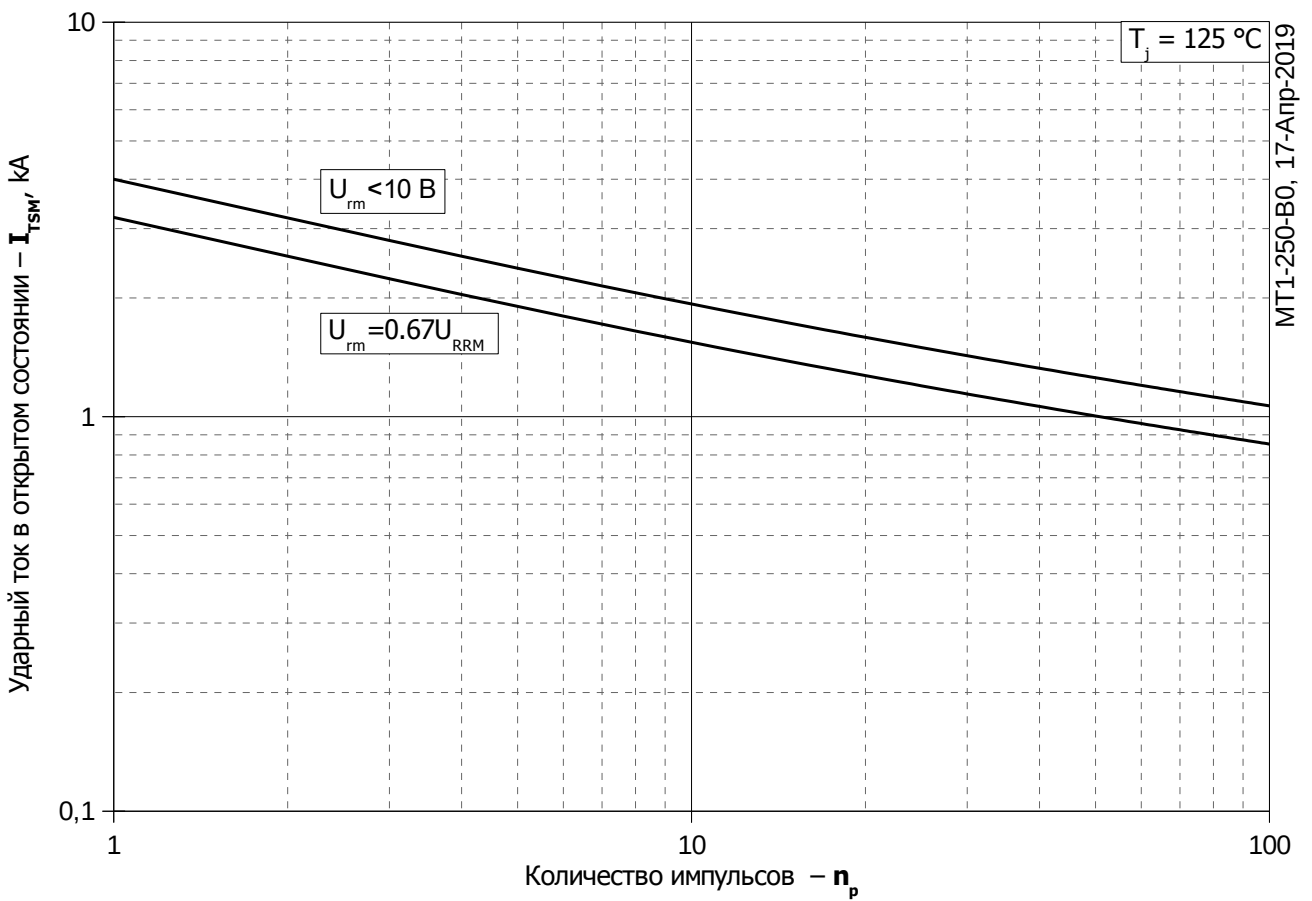


Рис. 10 – Зависимость максимальной амплитуды ударного тока в открытом состоянии I_{FSM} и защитного фактора I^2t от длительности импульса t_p



MT1-250-B0, 17-Апр-2019

Рис. 11 – Зависимость максимальной амплитуды ударного тока в открытом состоянии I_{FSM} от количества импульсов n_p